

УДК 534.222:539.3

ДИФРАКЦИЯ УПРУГОЙ ВОЛНЫ НА ДИСКЕ

**A. M. Скобеев**

(Москва)

Строится численное решение осесимметричной задачи о дифракции плоской продольной волны на жестком диске (цилиндре) конечной толщины. Диск заключен в неограниченную упругую среду, на поверхности контакта касательные напряжения ограничены некоторой константой. Падающая волна движется вдоль оси цилиндра и имеет вид полубесконечной размытой ступеньки. Попутно получается решение соответствующей статической задачи. Исследовалась зависимость скорости движения цилиндра и поля напряжений от параметров задачи. В частности, показано, что условия контакта существенно влияют на поле напряжений лишь вблизи боковой поверхности. Полученные результаты могут быть полезны для оценки погрешности измерения напряжений и скоростей в упругой среде и, возможно, в некоторых других случаях.

1. В рамках динамической теории упругости рассматривается осесимметричная задача о взаимодействии продольной волны с жестким цилиндром конечных размеров. Используются цилиндрические координаты  $z$ ,  $r$ , ось  $z$  совпадает с осью цилиндра, который занимает область  $-H/2 \leq z \leq H/2$ ,  $r \leq 1$  (фиг. 1). Область вне цилиндра заполняет упругая среда. Единицы измерения выбраны так, чтобы радиус цилиндра, плотность среды и скорость распространения продольных волн в ней равнялись единице.

Ниже будут использоваться следующие основные обозначения:  $\rho$  — плотность цилиндра,  $\mu$  — модуль сдвига среды,  $t$  — время,  $u(t, r, z)$ ,  $w(t, r, z)$  — смещения по  $r$  и  $z$ ,  $v(t)$  — скорость,  $w_0(t)$  — смещение цилиндра,  $\sigma_{zz}$ ,  $\tau = \sigma_{rz}$  — компоненты тензора напряжений, связанные со смещениями законом Гука

$$\sigma_{zz} = w_z + (1 - 2\mu)(u_r + u/r), \quad \tau = \mu(u_z + w_r) \quad (1.1)$$

Кроме того, вводятся вспомогательные обозначения:  $\Gamma$  — контур цилиндра в координатах  $r$ ,  $z$ ;  $Q_1, Q_2$  — смещения цилиндра по нормали и касательной к  $\Gamma$ ;  $Q_1 = 0$ ,  $Q_2 = w_0$  на боковой поверхности,  $Q_1 = w_0$ ,  $Q_2 = 0$  на основаниях;  $q_1, q_2$  — смещения в среде на границе с цилиндром,  $q_1$  — по нормали к  $\Gamma$ ,  $q_2$  — по касательной; точкой обозначается частная производная по  $t$ .

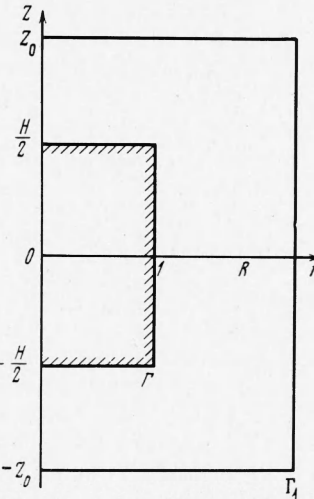
Вне цилиндра для  $u$  и  $w$  выполняются динамические уравнения теории упругости

$$u_{tt} = \mu u_{zz} + u_{rr} + (1 - \mu)w_{rz} + u_z/r - u/r^2 \quad (1.2)$$

$$w_{tt} = w_{zz} + \mu w_{rr} + \mu w_r/r + (1 - \mu)(u_{zr} + u_z/r)$$

Уравнение движения цилиндра

$$\rho \frac{H}{2} \frac{d^2 w_0}{dt^2} = \int_{\Gamma} r \sigma_{zz} dr + \tau dz \quad (1.3)$$



Фиг. 1

Для уравнений (1.2), (1.3) ставится краевая задача с начальными условиями при  $t = 0$  и граничными на  $\Gamma$ .

Начальные условия описывают плоскую продольную волну, падающую из бесконечности на верхнее основание цилиндра. Перед передним фронтом волны среда покоятся и не нагружена, за задним фронтом находится в состоянии одноосной деформации с  $\sigma_{zz} = 1$ . Эти условия имеют вид

$$\begin{aligned} w_0(0) &= 0, \quad v(0) = 0, \quad u(0, r, z) = u_t(0, r, z) = 0 \\ w_z(0, r, z) &= w_t(0, r, z) = f((H + T - 2z) / T) \end{aligned} \quad (1.4)$$

Здесь

$$\begin{aligned} f(\xi) &= 0 \text{ при } \xi \geq 1, \quad f(\xi) = 1 \text{ при } \xi \leq -1, \quad f(\xi) = (1 + \xi^2 \operatorname{sign} \xi) / 2 - \xi \\ &\text{при } -1 < \xi < 1 \end{aligned} \quad (1.5)$$

Входящий в (1.4) параметр  $T$  характеризует степень размытия волны.

На поверхности цилиндра ставились два граничных условия. Первое из них возникает из предположения о том, что цилиндр жесткий. Оно имеет вид  $q_1 = Q_1$  на  $\Gamma$ .

Второе соответствует упрощенному закону сухого трения

$$\begin{aligned} \dot{q}_2 &= \dot{Q}_2, \quad \text{если } |\tau| < k \\ \tau &= k \operatorname{sign}(\dot{q}_2 - \dot{Q}_2), \quad \text{если } |\tau| = k \end{aligned} \quad (1.6)$$

Эти условия отличаются от закона Кулона тем, что введенная в (1.6) величина  $k$ , характеризующая сцепление среды с поверхностью, не зависит от нормального напряжения.

Следует отметить, что если  $k = 0$ , то из (1.6) следует:  $\tau = 0$ , что соответствует условиям проскальзывания. При достаточно больших  $k$   $\dot{q}_2 = \dot{Q}_2$ , что соответствует условиям прилипания. В этих важных частных случаях задача становится линейной.

Сформулированная задача естественно возникает при изучении действия ударной нагрузки на тело, содержащее жесткое цилиндрическое включение. Ясно, что в зависимости от ситуации могут понадобиться разные сведения о явлении, поэтому представляется целесообразным зафиксировать физическую интерпретацию задачи.

В дальнейшем предполагается, что цилиндр представляет собой датчик напряжений, включенный в неограниченную упругую среду. Чувствительный элемент занимает некоторую часть верхнего основания цилиндра и не влияет на поле напряжения. Предполагается, что измеряемое напряжение лежит между максимальным и минимальным нормальным напряжением, действующим на чувствительный элемент. Целью измерения, очевидно, является получение информации о напряжении в волне, основной интерес представляет отличие измеряемого напряжения от напряжения в падающей волне. Поэтому в дальнейшем основное внимание уделяется изучению влияния параметров задачи на распределение нормальных напряжений на верхнем основании цилиндра.

2. Сформулированная задача решалась численно. Уравнения движения и граничные условия заменялись конечно-разностными соотношениями и полученная система уравнений решалась на БЭСМ-3СМ. Ясно, что при этом решение может быть получено лишь в конечной области. Возмущение, вызванное движением цилиндра, для конечных  $t$  распространяется на конечную область, вне которой решение имеет вид

$$u = 0, \quad w = f(t - z + H / 2) \quad (2.1)$$

Представляется естественным вычислять решение в этой области, однако технические характеристики машины не позволили использовать этот способ. Поэтому были введены дополнительные граничные условия при  $z = \pm z_0$  и  $0 \leq r \leq R$ ,  $r = R$  и  $-z_0 \leq z \leq z_0$ , имитирующие условия на бесконечности. Предполагалось, что на введенной границе возмущенное движение близко к одномерному. Введенная граница обозначается  $\Gamma_1$  (фиг. 1). Для нормальных и касательных смещений возмущенного движения к новой границе используются прежние обозначения  $q_1$  и  $q_2$ , нормаль к границе обозначается  $l$ . Если обозначить  $C_1 = 1$ ,  $C_2 = \sqrt{\mu}$ , то на  $\Gamma_1$  будут выполняться одномерные уравнения теории упругости

$$q_{\alpha l} = C_\alpha^2 q_{\alpha ll}, \quad \alpha = 1, 2 \quad (2.2)$$

В (2.2) нет суммирования по  $\alpha$ , индекс  $l$  обозначает производную по нормали к  $\Gamma_1$  и  $q_1 = w - f(t - z + H/2)$ ,  $q_2 = u$  на верхнем и нижнем участках границы,  $q_1 = u$ ,  $q_2 = w - f(t - z + H/2)$  на боковом участке.

Общее решение любого из уравнений (2.2) состоит из суммы двух произвольных функций, одна из которых описывает уходящую в бесконечность волну, другая — приходящую из бесконечности. Так как возмущенное движение содержит только волны первого типа, то граничные условия должны отсекать волны второго типа. Такими граничными условиями является следующий аналог принципа излучения Зоммерфельда

$$q_{\alpha l} + C_\alpha q_{\alpha l} = 0 \text{ на } \Gamma_1 \quad (\alpha = 1, 2) \quad (2.3)$$

Уравнение (1.3) при  $\rho = 0$  вырождается, поэтому оно преобразуется с использованием (1.1) и (1.2) к виду

$$\rho \frac{H}{2} \frac{d^2 w_0}{dt^2} + \iint_{D_1} w_{tt} r dr dz = \int_{\Gamma_2} rw_z dr + \mu r w_r dz + (1 + \mu)(1 + h/2)(u_a - u_b) \quad (2.4)$$

Здесь  $h$  — постоянная,  $\Gamma_2$  — контур, состоящий из прямых

$$\begin{aligned} & - (H + h)/2 \leq z \leq (H + h)/2, \quad r = 1 + h/2, \\ & z = \pm (H + h)/2, \quad 0 \leq r \leq 1 + h/2 \end{aligned}$$

где  $D_1$  — область, заключенная между  $\Gamma$  и  $\Gamma_2$ ,  $u_a$  и  $u_b$  — значения  $u$  в верхнем и нижнем углах  $\Gamma_2$ .

В цилиндрической системе координат возникают условия при  $r = 0$ , которые из соображений симметрии принимаются в виде

$$u = 0, \quad w_r = 0$$

Начальные условия ставились не при  $t = 0$ , а при  $t = H/2 - z_0 < 0$ . Они сводятся к тому, что искомые функции и их производные равны нулю при  $t = H/2 - z_0$  и  $z \leq z_0$ .

Таким образом, решается система уравнений (1.2) с граничными условиями (1.6), (2.3), (2.4) и нулевыми начальными условиями.

Как обычно, область, заключенная между  $\Gamma$  и  $\Gamma_1$  разбивается прямыми, параллельными осям координат, на квадраты со стороной  $h$ . Все функции вычисляются лишь в узлах полученной сетки и для дискретных значений времени. Предполагается, что  $\Gamma$  и  $\Gamma_2$  проходят через узлы сетки. Это означает, что  $1/h, H/h, z_0/h, R/h$  все целые.

Решение вычисляется для последовательных значений  $t$  с шагом  $t_0$ , начиная с  $t = H/2 - z_0 + t_0$ .

В дальнейшем аргументы у функций не выписываются, решение для момента времени  $t$  называется средним, для  $t - t_0$  — нижним, для  $t + t_0$  — верхним слоем. Для аппроксимации производных во внутренних точках области на среднем слое вводятся центральные разностные операторы  $\delta_z$ ,  $\delta_{zz}$ ,  $\delta_{zr}$  по формулам

$$\begin{aligned}\delta_z f_{ij} &= (f_{i,j+1} - f_{i,j-1}) / 2h \quad \delta_{zz} f_{ij} = (f_{j,j+1} - 2f_{i,j} + f_{i,j-1}) / h^2 \quad \delta_{zr} f_{ij} = \\ &= (f_{i+1,j+1} + f_{i-1,j-1} - f_{i,j+1} - f_{i,j-1}) / 4h^2\end{aligned}\quad (2.5)$$

Здесь  $f(r, z)$  — произвольная функция  $r$  и  $z$ . Аналогично вводятся операторы  $\delta_r$ ,  $\delta_{rr}$ ,  $\delta_l$ ,  $\delta_{ll}$ ,  $\delta_t$ ,  $\delta_{tt}$ , только в выражения для двух последних операторов вместо  $h$  войдет  $t_0$ . Так введенные операторы дают для соответствующих производных аппроксимацию второго порядка.

Так как уравнения (1.2) определены только во внутренних точках области, то для них сразу можно написать разностные аналоги

$$\begin{aligned}\delta_{tt} u &= \mu \delta_{zz} u + \delta_{rr} u + (1 - \mu) \delta_{rz} w + \delta_{ru} / (hi) - u / (hi)^2 \\ \delta_{tt} w &= \delta_{zz} w + \mu \delta_{rr} w + \mu \delta_r w / (hi) + (1 - \mu) \delta_{rz} u + (1 - \mu) \delta_z u / (hi)\end{aligned}\quad (2.6)$$

Полученные выражения описывают трехслойную явную схему второго порядка точности для системы уравнений (1.2). Для устойчивости схемы необходимо, чтобы выполнялся критерий Куранта [1], поэтому в дальнейшем полагается  $t_0 = h / 2$ .

Начальные условия для системы уравнений (2.6) сводятся к тому, что все функции равны нулю при  $t = H / 2 - z_0 - t_0$  и  $t = H / 2 - z_0$ .

Границные условия имеют более сложный характер. Для условий на внешней границе можно использовать центральные разностные отношения, введенные в (2.5). Разностный аналог условий (2.3) имеет вид (суммирования по  $\alpha$  нет,  $l$  — нормаль к  $\Gamma_1$ )

$$\delta_l q_\alpha + C_\alpha \delta_l q_\alpha = 0 \text{ на } \Gamma_1 \quad (\alpha = 1, 2) \quad (2.7)$$

Так как в (2.7) используются центральные разностные отношения, то в (2.7) входит точка, лежащая вне области. Чтобы исключить эту точку, воспользуемся тем, что  $q_\alpha$  на границе удовлетворяют также уравнениям (2.2). Разностная аппроксимация этих уравнений  $\delta_{tt} q_\alpha = C_\alpha^2 \delta_{ll} q_\alpha$  содержит ту же лежащую вне рассматриваемой области точку, что и (2.7). Это позволяет исключить эту точку и получить аппроксимацию граничных условий в виде ( $q_\alpha$  берутся на среднем слое)

$$2C_\alpha (\delta_t q_\alpha + C_\alpha \delta_l q_\alpha) / h + \delta_{ll} q_\alpha - C_\alpha^2 \delta_{tt} q_\alpha = 0 \quad (2.8)$$

Границное условие (2.4) аппроксимировалось также с использованием центральных разностных отношений. Входящий в левую часть интеграл имеет порядок  $h$  и его можно преобразовать

$$\iint_{D_1} w_{tt} r dr dz = \frac{h}{2} \frac{d^2 w_3}{dt^2} + \frac{h}{2} \int_{\Gamma_3} w_{tt} dz + O(h^2) \quad (2.9)$$

Здесь  $\Gamma_3$  отрезок  $r = 1, -H / 2 < z < H / 2$ .

Интегралы по  $\Gamma_2$  и  $\Gamma_3$  вычислялись методом трапеций, значения подынтегральных функций брались в точках пересечения  $\Gamma_2$  и  $\Gamma_3$  с прямыми сетками. Для соответствующих интегральных сумм употребляется символ  $\Sigma$ . Так как  $\Gamma_2$  не проходит через узлы сетки, то для аппроксимации первых производных использовались операторы  $\delta_z^{1/2}$  и  $\delta_r^{1/2}$ , аналогичные введенным в (2.5), но с шагом  $h / 2$ .

Разностный аналог (2.4) имеет вид

$$\begin{aligned} \frac{\rho(H+h)}{2} \delta_{tt} w_0 = & \sum_{\Gamma_2} r (\delta_z^{1/2} w + \mu \delta_r^{1/2} w) + \frac{h}{2} \sum_{\Gamma_3} \delta_{tt} w + \\ & + (1-\mu) \left( 1 + \frac{h}{2} \right) \frac{u(t, 1+h, h+H/2) - u(t, 1+h, -h-H/2)}{2} + O(h^2) \end{aligned} \quad (2.10)$$

Здесь  $\delta_{tt} w$  вычисляются на нижнем слое. При получении (2.10) использовано то обстоятельство, что  $u_a$ ,  $u_b$  и левая часть (2.9) имеют порядок  $h$  и для них пригодна аппроксимация первого порядка.

Для остальных граничных условий потребуются односторонние операторы второго порядка, определенные на верхнем слое

$$\delta_z^{-1} f = (4f(z+h) - f(z+2h) - 3f(z)) / 2h \quad (2.11)$$

и аналогичные операторы  $\delta_r^{-1}$ ,  $\delta_l^{-1}$  и  $\delta_t^{-1}$ , только в последний вместо  $h$  войдет  $t_0$ .

Условие при  $r = 0$  имеет вид

$$u = 0, \delta_r^{-1} w = 0$$

Условие на границе цилиндра  $q_1 = Q_1$  остается без изменений, а условие (1.6) принимает вид ( $l$  — нормаль к  $\Gamma$ ,  $k_1 = k / \mu$ )

$$\begin{aligned} \delta_l^{-1}(q_2 - Q_2) &= 0, \text{ если } |\delta_l^{-1} q_2| < k_1 \\ \delta_l^{-1} q_2 &= k_1 \operatorname{sign} \delta_l^{-1}(q_2 - Q_2), \text{ если } |\delta_l^{-1} q_2| = k_1 \end{aligned} \quad (2.12)$$

Полученные условия представляют собой систему нелинейных уравнений для определения  $q_2$  на  $\Gamma$ . В каждое из уравнений входит только одна неизвестная, поэтому эта система легко решается. Решение единственное и имеет вид

$$\begin{aligned} q_2 &= -y_1, \text{ если } |y_1 + y_2| < k_2 \\ q_2 - y_2 - k_2 \operatorname{sign}(y_1 + y_2), &\text{ если } |y_1 + y_2| \geq k_2 \end{aligned} \quad (2.13)$$

Здесь

$$k_2 = 2hk_1 / \mu, \quad y_1 = 2h\delta_t^{-1}(q_2 - Q_2) / 3 - q_2, \quad y_2 = 2h\delta_l^{-1}q_2 / 3 + q_2$$

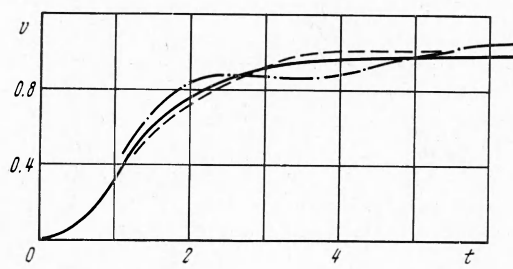
$y_1$ ,  $y_2$  не содержат  $q_2$  на  $\Gamma$ .

Таким образом, решение на верхнем слое полностью определено. Переходя от слоя к слою, можно построить решение для любых  $t$ .

3. Изложенная схема была реализована в виде программы с несущественными изменениями. Расчет проводился до выхода на статический режим и занимал от 20 до 60 минут, при этом  $H$  менялось от 0.5 до 2.0,  $\mu$  — от 0.1 до 0.5,  $k$  — от 0 до 1.0,  $\rho$  — от 0.5 до 4.0,  $T$  — от 0.5 до 1.0,  $z_0$  — от 2.5 до 5.0,  $R$  — от 3.0 до 6.0,  $h$  — от 0.1 до 0.2. Таким образом, остался неисследованным только случай больших  $H$ . Этот пробел объясняется тем, что при фиксированном шаге по  $h$  и  $r$  для больших  $H$  требуется слишком много точек сетки.

В результате расчетов выяснилось, что наиболее стабильной характеристикой процесса является скорость цилиндра  $v(t)$ , которая практически не зависит от  $\mu$  и  $k$  и слабо зависит от  $\rho$  и  $H$ . На фиг. 2 изображена сплошной линией зависимость  $v$  от  $t$  для  $\mu = 0.1$ ,  $k = 0$  и  $H = 2.0$ ,  $\rho = 1.0$ ,  $T = 0.25$ ,  $h = 0.2$ ,  $z_0 = 2.5$ ,  $R = 8.0$ . Пунктирная кривая соответствует  $\mu = 0.5$ ,  $k = 1.0$ , штрих-пунктирная —  $\mu = 0.5$ ,  $k = 0$ , остальные параметры те же. Расчеты проводились для промежуточных случаев ( $\mu = 0.2, 0.3, 0.4$  и  $k = 0$ ), различие получилось еще меньшим. Аналогичные

результаты получились и для  $H = 0.5, 0.8, 1.0, 1.6$ . Так как в теории упругости  $\mu \leq 0.5$  [2], а при  $k = 1.0$  проскальзывания не наблюдалось, то можно считать, что для  $H \leq 2.0$  и  $\rho = 1.0$  скорость движения цилиндра практически не зависит от  $\mu$  и  $k$ .

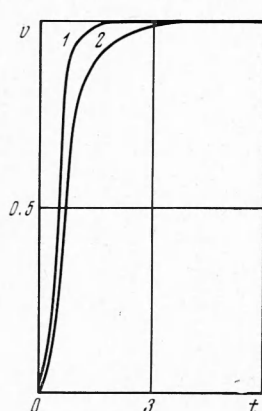


Фиг. 2

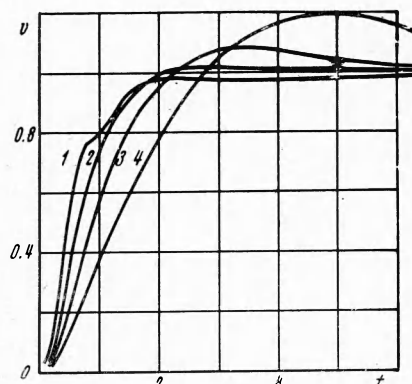
На фиг. 3 и фиг. 4 показана зависимость  $v(t)$  от  $H$  и  $\rho$ . На фиг. 3 кривые 1, 2 соответствуют  $H = 0.5, 1.0$  и  $\rho = 0.3, \rho = 1.0, k = 0, T = 0.5$ , на фиг. 4 кривые 1, 2, 3, 4, соответствуют  $\rho = 0.5, 1.0, 2.0, 4.0$  и  $H = 1.0, \mu = 0.3, k = 0, T = 0.5$ .

Видно, что зависимость скорости от  $H$  и  $\rho$  проявляется отчетливо и соответствует интуитивным представлениям.

Зависимость поля напряжений от параметров задачи проявляется значительно более отчетливо. Существенный интерес в задаче представляет

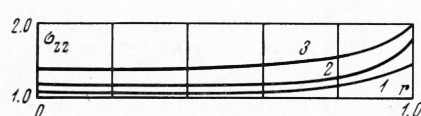


Фиг. 3

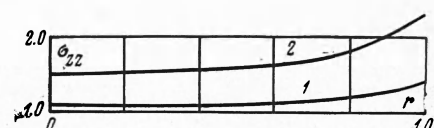


Фиг. 4

$\sigma_{zz}$  на поверхности цилиндра. На фиг. 5 изображено  $\sigma_{zz}(t_1, r, H/2)$ , причем  $t_1$  выбрано так, чтобы наступил статический режим. Кривая 1 на этой



Фиг. 5



Фиг. 6

фигуре изображает  $\sigma_{zz}$  как функцию  $r$  для  $H = 0.5$ , кривая 2 — для  $H = 1.0$ , кривая 3 — для  $H = 2.0$ , остальные параметры

$$\mu = 0.3, \rho = 1.0, k = 0$$

На фиг. 6 кривая 1 изображает  $\sigma_{zz}$  для  $\mu = 0.1$ , кривая 2 — для  $\mu = 0.5$ , остальные параметры

$$H = 2.0, \rho = 1.0, k = 0$$

В качестве важного обстоятельства следует отметить, что  $\sigma_{zz}$  на основании цилиндра практически не зависит от  $k$ , в то время как  $\sigma_{zz}$  сильно за-

висит от  $k$  на боковой поверхности. Зависимость  $\sigma_{zz}$  в центре верхнего основания цилиндра от  $k$  для  $\mu = 0.1, 0.2, 0.3, 0.4, 0.5$  и  $H = 2.0, t = \infty$  изображена в табл. 1.

На фиг. 7 изображена зависимость  $\sigma_{zz}$  от  $z$  на боковой поверхности цилиндра для  $k = 0.1, 0.3$  и  $H = 2.0, \mu = 0.3$ .

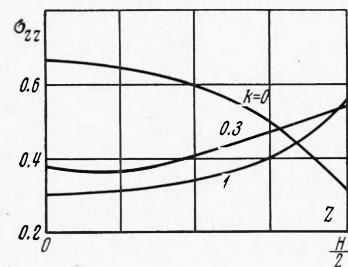
Зависимость  $\sigma_{zz}$  в центре верхнего основания цилиндра от  $\mu$  и  $H$  для  $k = 0.0, \rho = 1.0, t = \infty$  изображена в табл. 2.

На фиг. 8 приводится зависимость  $\sigma_{zz}(t)$  в центре верхнего основания цилиндра для  $\mu = 0.1, 0.5$  и  $H = 2.0, \rho = 1.0, T = 0.25$ .

На фиг. 9—12 представлены распределения напряжения  $\sigma_{zz}(r, z, t)$  для фиксированных моментов времени  $t = 1.0, 1.5, 2.0, 5.0$  и следующей комбинации параметров:

$$\begin{aligned} \mu &= 0.3, k = 1.0, \rho = 1.0, \\ H &= 1.0, T = 0.5 \end{aligned}$$

Эти фигуры были получены при помощи специальной программы, в которой использовался вывод на АЦПУ-128. По оси ординат отложена координата  $z$ , по оси абсцисс —  $r$ . Контур цилиндра отмечен штриховкой, причем на фигурах изображена лишь область  $|z| \leq (H/2 + z_0)/2, 0.5 \leq r \leq 1.5$ , хотя на АЦПУ выводилась вся область  $|z| \leq z_0, 0 \leq r \leq R$ . Цифрами 1, 2, 3, ... отмечены зоны пониженных, а буквами — зоны повышенных напряжений по сравнению с напряжениями в падающей волне. Белые поля, за исключением белого поля перед символом 9 перед фронтом падающей волны на фиг. 9, соответствуют напряжению в падающей волне.



Фиг. 7

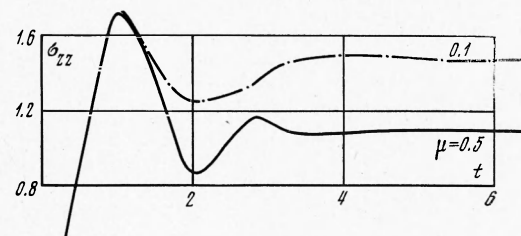
Переход к следующему символу соответствует изменению  $\sigma_{zz}$  на 0.05. В частности, отсутствие символа означает  $\sigma_{zz} = 1.0 \pm 0.025$ , символ 1 —  $\sigma_{zz} = 0.95 \pm 0.025$ , символ A —  $\sigma_{zz} = 1.05 \pm 0.025$ . На фиг. 9 передняя граница фронта волны находится на уровне нижнего основания цилиндра. На центральной части верхнего основания напряжение составляет  $\sigma_{zz} = 1.40 \pm 0.025$ , которое при  $r > 0.5$  с приближением к угловой точке возрастает. Под нижним основанием в центральной части напряжение составляет  $\sigma_{zz} = 0.90 \pm 0.025$ . В районе угловой точки заметно появление зоны концентрации напряжений (символы A). По боковой поверхности цилиндра ясно заметен неустановившийся характер распределения напряжений. В целом напряжения здесь возрастают от краев к середине боковой поверхности, где  $\sigma_{zz} = 0.95 \pm 0.025$ .

Таблица 1

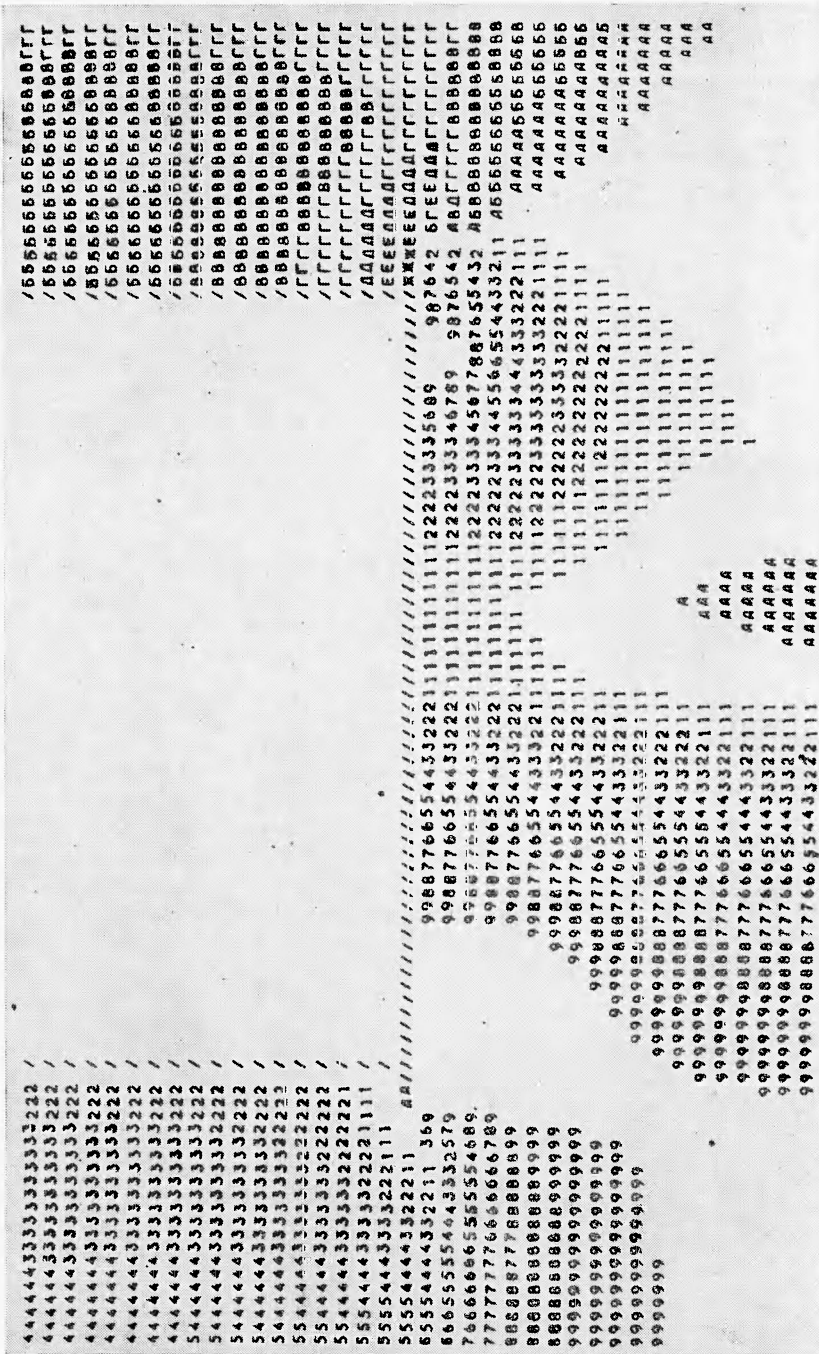
$k$	$\mu$				
	0.10	0.20	0.30	0.40	0.50
0.0	1.14	1.27	1.36	1.44	1.51
1.0	1.14	1.25	1.34	1.42	1.48

Таблица 2

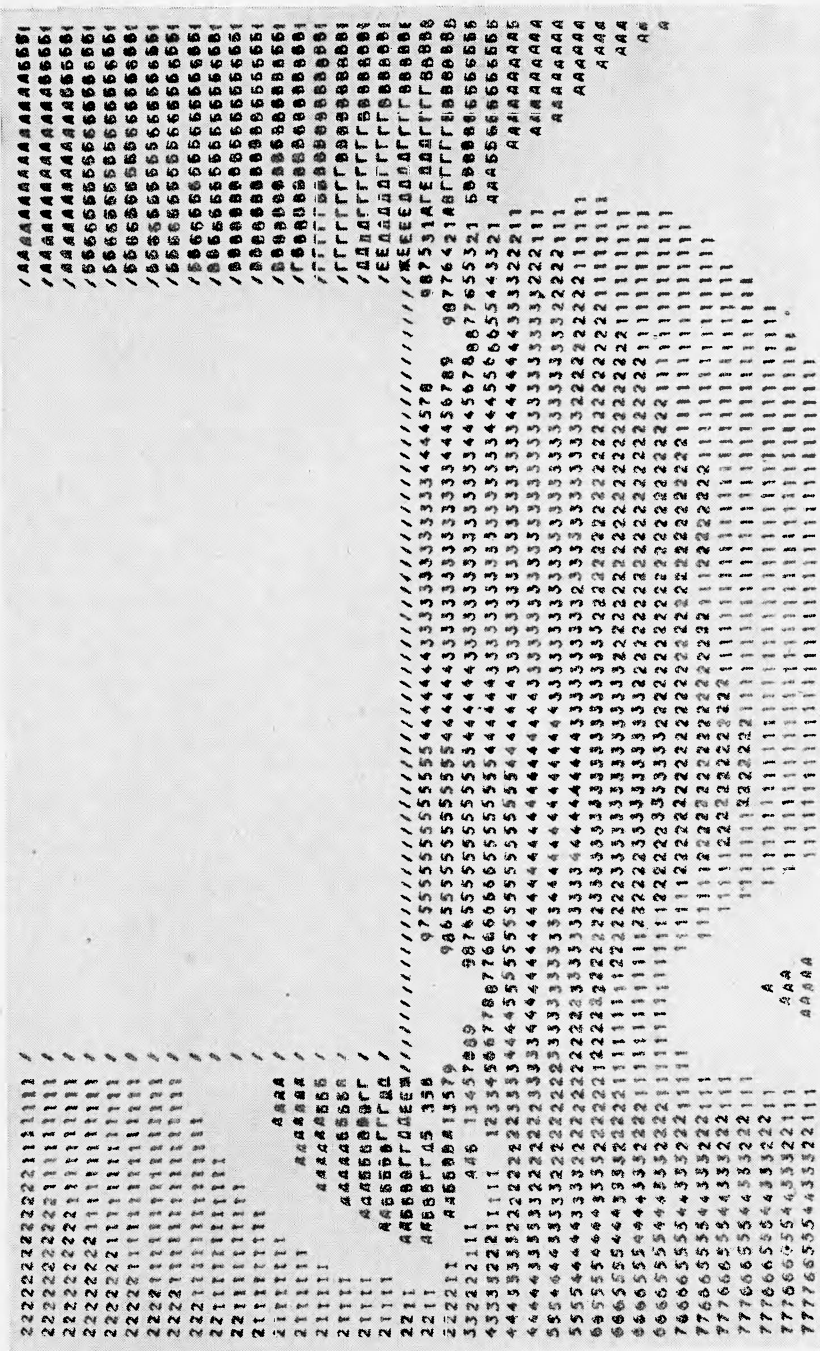
$H$	$\mu$				
	0.10	0.20	0.30	0.40	0.50
0.5	1.03	1.08	1.10	1.12	1.14
0.8	1.03	1.09	1.13	1.16	1.22
1.0	1.05	1.09	1.15	1.21	1.25
1.6	1.10	1.20	1.29	1.35	1.41
2.0	1.14	1.27	1.36	1.44	1.51



Фиг. 8

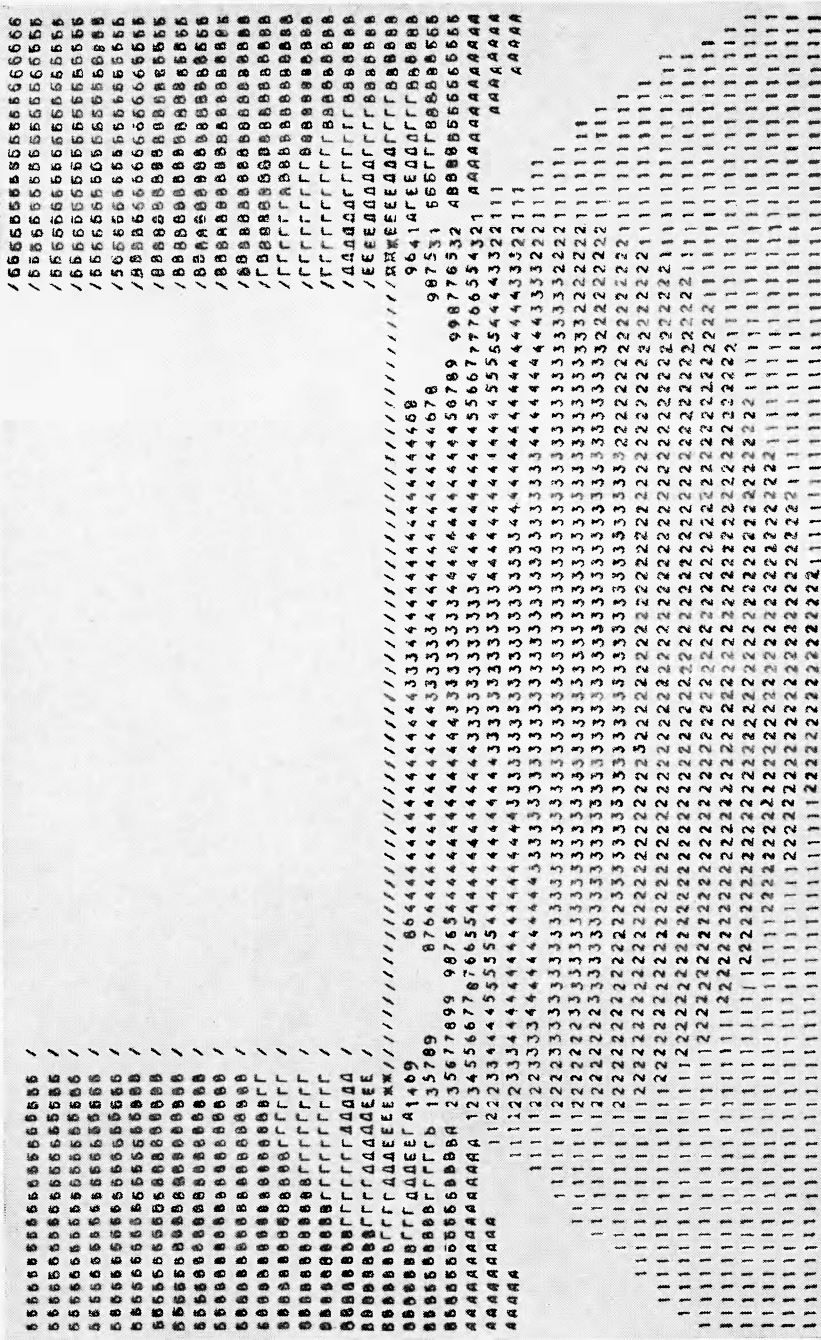


Фиг. 9



Фиг. 10

Фиг. 11



Фиг. 12

На фиг. 10 распределение напряжений по боковой поверхности становится более симметричным, однако характер распределения напряжений — возрастание их от краев к центру — сохраняется. В районе угловых точек над верхним и под нижним основаниями цилиндра заметен рост зон концентрации напряжений. Напряжения в центральной части нижнего основания возрастают ( $\sigma_{zz} = 0.95 \pm 0.025$ ).

На фиг. 11 распределение напряжений непосредственно по боковой поверхности близко к установившемуся режиму. Над верхним и под нижним основаниями происходит увеличение зон концентрации напряжений.

Фиг. 12 соответствует установившемуся квазистатическому режиму. Концентрация напряжений по верхнему и нижнему основаниям одинакова и составляет при  $0 \leq r \leq 0.5 \div 0.6$  величину  $\sigma_{zz} = 1.10 \pm 0.025$ .

Интересно отметить, что в период неустановившегося движения (фиг. 9, 10, 11) эффекты концентрации напряжений в средней части верхнего и нижнего оснований цилиндра меньше ( $\sigma_{zz} = 1.05 \pm 0.025$ ), чем после установления квазистатического состояния (фиг. 12). Это различие, однако, невелико и находится в пределах  $0.05 \pm 0.025$ .

Поступила 7 II 1972

#### ЛИТЕРАТУРА

1. Вазов В., Форсайт Дж. Разностные методы решения дифференциальных уравнений в частных производных. М., Изд-во иностр. лит., 1963.
2. Снедdon И. Н., Берри Д. С. Классическая теория упругости. М., Физматгиз, 1961.